

# Упругие модули высших порядков объемного металлического стекла $Zr_{52.5}Ti_5Cu_{17.9}Ni_{14.6}Al_{10}$

© Н.П. Кобелев, Е.Л. Кольванов, В.А. Хоник\*

Институт физики твердого тела Российской академии наук,  
142432 Черноголовка, Московская обл., Россия

\* Воронежский государственный педагогический университет,  
394043 Воронеж, Россия

E-mail: kobelev@issp.ac.ru

(Поступила в Редакцию 7 августа 2006 г.)

Проведен расчет (с точностью до квадратичных членов по внешней нагрузке) влияния упругого нагружения на скорость распространения звуковых колебаний в твердом теле. На основе этого расчета и экспериментальных данных по влиянию одноосного нагружения на распространение ультразвуковых волн в объемном металлическом стекле  $Zr_{52.5}Ti_5Cu_{17.9}Ni_{14.6}Al_{10}$  получены оценки его упругих модулей третьего и четвертого порядков.

Авторы благодарны Российскому фонду фундаментальных исследований (проекты № 05-02-17726 и 04-02-17140), Минобрнауки РФ (проект № НШ-2169.2003.2) и программе ОФН РАН „Влияние атомно-кристаллической и электронной структуры на свойства конденсированных сред“ за финансовую поддержку работы.

PACS: 43.25.Ba, 43.25.Ed, 62.20.Dc, 62.65.+k, 81.05.Kf, 81.40.Vw

## 1. Введение

Объемные металлические стекла [1] (сплавы с низкой критической скоростью закалки без кристаллизации) являются чрезвычайно перспективными для практического применения благодаря сочетанию в них целого комплекса уникальных физических характеристик. Кроме того, они являются довольно удобным модельным объектом для исследования фундаментальных аспектов природы аморфного состояния. В частности, изучение нелинейных упругих характеристик, которые отражают силовые параметры межатомного взаимодействия, может дать дополнительную информацию об особенностях атомной структуры металлических стекол. В наших предыдущих работах [2,3] методом линейной акустики (путем измерения зависимости скоростей ультразвуковых колебаний от приложенной внешней нагрузки) впервые были экспериментально оценены все модули упругости третьего порядка в двух объемных металлических стеклах. При этом было отмечено весьма существенное влияние внешней нагрузки на полученные оценки, что дало основание предполагать возможность получения информации о параметрах упругой нелинейности более высокого порядка с использованием той же методики. Поэтому данная работа посвящена экспериментальной оценке модулей упругости четвертого порядка в объемном металлическом стекле системы  $Zr-Cu-Ni-Al-Ti$ . Получение этих данных преследовало и еще одну цель — проверку одного из положений междоузельной теории конденсированного состояния Гранато [4–6], важнейшим параметром которой является величина сдвигового модуля упругости четвертого порядка.

## 2. Методика эксперимента

Методика эксперимента была полностью аналогична методике, использованной в предыдущих работах [2,3]. Исходный сплав  $Zr_{52.5}Ti_5Cu_{17.9}Ni_{14.6}Al_{10}$  приготавливался индукционной вакуумной плавкой в условиях левитации. Для получения аморфного состояния производилась закалка расплава в медную изложницу, скорость закалки в районе температуры стеклования составляла около 100 K/s (процедура закалки подробно описана ранее [7]). Образцы для испытаний (сечением  $\sim 3 \times 6$  mm и длиной около 16 mm) вырезались из заготовок с помощью электроискровой резки, механически шлифовались и полировались. Состояние (аморфность) образцов контролировалось методом рентгенографии на дифрактометре SIEMENS D-500 с использованием  $CuK_{\alpha}$ -излучения. Плотность стекла  $Zr_{52.5}Ti_5Cu_{17.9}Ni_{14.6}Al_{10}$  составляла примерно 6.68 g/cm<sup>3</sup>.

Упругое деформирование производилось сжатием образцов вдоль их длинной оси на испытательной машине Instron до напряжений около 1 GPa, что примерно в 1.5 раза ниже пределов упругости и прочности испытываемого стекла. Точность определения величины нагрузки составляла 1–2%. Измерение продольной и поперечной скоростей звука проводилось при постоянной внешней нагрузке вдоль короткой оси образца (перпендикулярно оси нагружения) высокочастотным резонансным методом [8] на частотах 7–10 MHz с керамическими пьезопреобразователями. Для приклеивания пьезодатчиков к образцу применялся мед. Направление вектора поляризации в случае поперечных колебаний было параллельно или перпендикулярно оси нагружения. Относительная ошибка измерения резонансной частоты образца  $\Delta f/f$  при изменении нагрузки составляла не более  $5 \cdot 10^{-5}$ .

Величины скоростей звука в отсутствие внешней нагрузки, измеренные резонансным и эхо-импульсным [9] методами, составляли  $(4.80 \pm 0.04) \cdot 10^3$  м/с для продольных и  $(2.174 \pm 0.004) \cdot 10^3$  м/с для сдвиговых колебаний. Все измерения проводились при комнатной температуре.

### 3. Основные соотношения для расчета модулей упругости четвертого порядка

Упругие модули высших порядков определяются как соответствующие производные внутренней энергии  $U$  (адиабатические) или свободной энергии (изотермические) по деформации, отнесенной к естественному (исходному) состоянию:

$$\begin{aligned} \rho_0 U = & \rho_0 U_0 + \frac{1}{2} C_{ijkl} \varepsilon_{ij} \varepsilon_{kl} + \frac{1}{6} C_{ijklmn} \varepsilon_{ij} \varepsilon_{kl} \varepsilon_{mn} \\ & + \frac{1}{24} C_{ijklmnpq} \varepsilon_{ij} \varepsilon_{kl} \varepsilon_{mn} \varepsilon_{pq} + \dots, \end{aligned} \quad (1)$$

где  $\rho_0$  — плотность в естественном состоянии. В изотропном твердом теле число независимых упругих модулей третьего и четвертого порядка равно 3 и 4 соответственно. Выражение (1) в этом случае может быть представлено через инварианты деформации и соответствующие упругие константы:

$$\begin{aligned} \rho_0 U = & \rho_0 U_0 + \frac{1}{2} \lambda I_1^2 + \mu I_2 + \frac{1}{6} \nu_1 I_1^3 + \nu_2 I_1 I_2 + \frac{4}{3} \nu_3 I_3 \\ & + \frac{1}{24} \gamma_1 I_1^4 + \frac{1}{2} \gamma_2 I_1^2 I_2 + \frac{4}{3} \gamma_3 I_1 I_3 + \frac{1}{2} \gamma_4 I_2^2, \end{aligned} \quad (2)$$

где  $I_1 = \varepsilon_{ii}$ ,  $I_2 = \varepsilon_{ij} \varepsilon_{ji}$ ,  $I_3 = \varepsilon_{ij} \varepsilon_{jk} \varepsilon_{ik}$ , а  $\lambda$ ,  $\mu$  — упругие константы Ламе второго порядка,  $\nu_\alpha$  и  $\gamma_\beta$  — третьего и четвертого порядка соответственно. Упругие модули третьего и четвертого порядков можно интерпретировать как линейную и квадратичную по деформациям добавки к модулям упругости второго порядка, что и дает один из способов их определения — изучение зависимости модулей второго порядка (или скоростей звука) от приложенного напряжения. Зависимости скоростей распространения звука в твердом теле от внешних статических нагрузок в линейном приближении широко известны. Впервые они были рассчитаны в работе [10], а подробное рассмотрение таких зависимостей в анизотропных материалах проведено в [11]. Далее приведен краткий вывод основных соотношений, которые можно использовать при расчете модулей четвертого порядка из зависимостей скоростей звука от внешней нагрузки.

Расчет проводился в рамках подхода, использованного ранее в [2], но при учете квадратичных членов в зависимости скоростей звука от внешней нагрузки. Смещения, вызываемые звуковой волной, обозначим как  $s_i$ , а вызываемые внешней нагрузкой — как  $u_i$ . Тогда полные смещения  $v_i = s_i + u_i = (x_i - X_i) + (X_i - a_i)$ , где  $x_i$  — текущие,  $X_i$  — начальные (координаты в деформированном состоянии),  $a_i$  — естественные (исходные)

координаты материальной точки. Предполагается, что деформации, вызываемые внешней нагрузкой, постоянны во времени, однородны по образцу и малы, но конечны, а амплитуда деформации в акустической волне бесконечно мала. В этом случае в уравнениях движения производную по  $x_i$  можно заменить производной по  $X_i$  [11]

$$\rho \frac{\partial^2 v_i}{\partial t^2} = \rho \frac{\partial^2 s_i}{\partial t^2} = \frac{\partial \sigma_{ji}}{\partial x_j} = \frac{\partial \sigma_{ji}}{\partial X_j} \quad (3)$$

( $\rho$  — плотность материала), оставляя в дальнейшем только члены первого порядка по  $s_i$ . Переходя от упругих напряжений  $\sigma_{ji}$  к термодинамическим  $t_{ji}$  [11,12], получаем

$$\begin{aligned} \rho \frac{\partial^2 s_i}{\partial t^2} = & \frac{\partial}{\partial X_j} \left( \frac{1}{J} \frac{\partial x_j}{\partial a_k} \frac{\partial x_i}{\partial a_m} t_{km} \right) \\ = & \frac{1}{J} \left( \frac{\partial X_j}{\partial a_k} \frac{\partial X_l}{\partial a_m} t_{km} \frac{\partial^2 s_i}{\partial X_j \partial X_l} + \frac{\partial X_j}{\partial a_k} \frac{\partial X_i}{\partial a_m} \frac{\partial t_{km}}{\partial X_j} \right), \end{aligned} \quad (4)$$

где  $J = \rho_0 / \rho = \det \|\partial x_i / \partial a_j\|$ . В (4) в приближении с точностью до членов второго порядка по  $\partial u_i / \partial a_j$

$$\begin{aligned} \frac{\partial t_{km}}{\partial X_j} = & \left( \frac{\partial t_{km}}{\partial \varepsilon_{rt}} \right)_S \left( \frac{\partial \varepsilon_{rt}}{\partial X_j} \right) = \left( c_{kmrt}^S + c_{kmrtpq}^{ST} \varepsilon_{pq} \right. \\ & \left. + \frac{1}{2} c_{kmrtpqhf}^{ST} \varepsilon_{pq} \varepsilon_{hf} \right) \left( \frac{\partial X_s}{\partial a_r} \frac{\partial X_e}{\partial a_t} \right) \frac{\partial^2 s_e}{\partial X_s \partial X_j}, \end{aligned} \quad (5)$$

$$t_{km} = c_{kmls}^T \varepsilon_{ls} + \frac{1}{2} c_{kmlspq}^T \varepsilon_{ls} \varepsilon_{pq}, \quad (6)$$

где  $\varepsilon_{ij}$  — вектор деформации Грина,  $c_{ijkl}$  — изотермические или адиабатические упругие модули второго порядка,  $c_{ijklmn}^T$  — изотермические модули третьего порядка, а

$$c_{ijklmn}^{ST} = \left( \frac{\partial c_{ijkl}^S}{\partial \varepsilon_{mn}} \right)_T = \rho_0 \left( \frac{\partial}{\partial \varepsilon_{mn}} \left( \frac{\partial^2 U}{\partial \varepsilon_{kl} \partial \varepsilon_{ij}} \right)_S \right)_T,$$

$$c_{ijklmnpq}^{ST} = \left( \frac{\partial^2 c_{ijkl}^S}{\partial \varepsilon_{mn} \partial \varepsilon_{pq}} \right)_T = \rho_0 \left( \frac{\partial^2}{\partial \varepsilon_{pq} \partial \varepsilon_{mn}} \left( \frac{\partial^2 U}{\partial \varepsilon_{kl} \partial \varepsilon_{ij}} \right)_S \right)_T$$

— смешанные упругие модули второго [12,13] и третьего порядков. Выражение (4) можно переписать в виде

$$\begin{aligned} \rho_0 V^2 s_i = & \left( \delta_{jk} + \frac{\partial u_j}{\partial a_k} \right) \left( \delta_{ml} + \frac{\partial u_l}{\partial a_m} \right) \left[ \frac{1}{2} c_{kmrt}^T \left( \frac{\partial u_r}{\partial a_t} + \frac{\partial u_t}{\partial a_r} \right) \right. \\ & \left. + \frac{\partial u_s}{\partial a_t} \frac{\partial u_s}{\partial a_r} + \frac{1}{8} c_{kmrtpq}^T \left( \frac{\partial u_r}{\partial a_t} + \frac{\partial u_t}{\partial a_r} \right) \left( \frac{\partial u_p}{\partial a_q} + \frac{\partial u_q}{\partial a_p} \right) \right] \\ & \times n_j n_l s_i + \left( \delta_{jk} + \frac{\partial u_j}{\partial a_k} \right) \left( \delta_{im} + \frac{\partial u_i}{\partial a_m} \right) \left( \delta_{sr} + \frac{\partial u_s}{\partial a_r} \right) \\ & \times \left( \delta_{et} + \frac{\partial u_e}{\partial a_t} \right) \left[ c_{kmrt}^S + \frac{1}{2} c_{kmrtpq}^{ST} \left( \frac{\partial u_p}{\partial a_q} + \frac{\partial u_q}{\partial a_p} + \frac{\partial u_v}{\partial a_p} \frac{\partial u_v}{\partial a_q} \right) \right. \\ & \left. + \frac{1}{8} c_{kmrtpqhf}^{ST} \left( \frac{\partial u_p}{\partial a_q} + \frac{\partial u_q}{\partial a_p} \right) \left( \frac{\partial u_h}{\partial a_f} + \frac{\partial u_f}{\partial a_h} \right) \right] n_s n_j s_e, \end{aligned} \quad (7)$$

где  $n_i$  — направляющие волнового вектора,  $V$  — скорость звуковой волны. Для изотропного материала

уравнения (7) упрощаются. При трехосном напряженном состоянии и распространении звука вдоль главных осей тензора деформации (которые для определенности направлены вдоль осей  $a_i$ ) скорость продольной волны ( $V_1$ ) вдоль, например, оси  $a_1$  определяется выражением

$$\begin{aligned} \rho_0 V_1^2 &= (\lambda^S + 2\mu) + (4\lambda^S + \lambda^T)\alpha_1 + \lambda^T(\alpha_2 + \alpha_3) \\ &+ 10\mu\alpha_1 + (v_1^{ST} + 6v_2^{ST} + 8v_3^{ST})\alpha_1 \\ &+ (v_1^{ST} + 2v_2^{ST})(\alpha_2 + \alpha_3) + 6\lambda^S\alpha_1^2 \\ &+ \lambda^T \left[ 2\alpha_1(\alpha_2 + \alpha_3) + \frac{1}{2}(5\alpha_1^2 + \alpha_2^2 + \alpha_3^2) \right] \\ &+ 17\mu\alpha_1^2 + \frac{1}{2}v_1^T(\alpha_1 + \alpha_2 + \alpha_3)^2 \\ &+ v_2^T(3\alpha_1^2 + \alpha_2^2 + \alpha_3^2 + 2\alpha_1(\alpha_2 + \alpha_3)) + 4v_3^T\alpha_1^2 \\ &+ 36v_3^{ST}\alpha_1^2 + \frac{1}{2}v_1^{ST}(\alpha_1^2 + \alpha_2^2 + \alpha_3^2) \\ &+ 8\alpha_1(\alpha_1 + \alpha_2 + \alpha_3) \\ &+ v_2^{ST}(27\alpha_1^2 + \alpha_2^2 + \alpha_3^2 + 8\alpha_1(\alpha_2 + \alpha_3)) \\ &+ \frac{1}{2}\gamma_1^{ST}(\alpha_1 + \alpha_2 + \alpha_3)^2 + \gamma_2^{ST}(5\alpha_1^2 + \alpha_2^2 + \alpha_3^2) \\ &+ 4\alpha_1(\alpha_2 + \alpha_3) + (\alpha_1 + \alpha_2 + \alpha_3)^2 \\ &+ 8\gamma_3^{ST}\alpha_1(2\alpha_1 + \alpha_2 + \alpha_3) + 2\gamma_4^{ST}(3\alpha_1^2 + \alpha_2^2 + \alpha_3^2), \quad (8) \end{aligned}$$

где  $\alpha_1 = \frac{\partial u_1}{\partial a_1}$ ,  $\alpha_2 = \frac{\partial u_2}{\partial a_2}$ ,  $\alpha_3 = \frac{\partial u_3}{\partial a_3}$ .

Выражения для скоростей сдвиговых волн  $V_2$  и  $V_3$ , распространяющихся в том же направлении с поляризациями соответственно вдоль  $a_2$  и  $a_3$ , будут иметь вид:

$$\begin{aligned} \rho_0 V_2^2 &= \mu + \lambda^T(\alpha_1 + \alpha_2 + \alpha_3) + \mu(4\alpha_1 + 2\alpha_2) \\ &+ v_2^{ST}(\alpha_1 + \alpha_2 + \alpha_3) + 2v_3^{ST}(\alpha_1 + \alpha_2) \\ &+ \lambda^T \left( \frac{1}{2}(5\alpha_1^2 + \alpha_2^2 + \alpha_3^2) + 2\alpha_1(\alpha_2 + \alpha_3) \right) \\ &+ \mu(6\alpha_1^2 + \alpha_2(\alpha_2 + 4\alpha_1)) + \frac{1}{2}v_1^T(\alpha_1 + \alpha_2 + \alpha_3)^2 \\ &+ v_2^T(3\alpha_1^2 + \alpha_2^2 + \alpha_3^2 + 2\alpha_1(\alpha_2 + \alpha_3)) + 4v_3^T\alpha_1^2 \\ &+ \frac{1}{2}v_2^{ST}(\alpha_1^2 + \alpha_2^2 + \alpha_3^2 + 4(\alpha_1 + \alpha_2)(\alpha_1 + \alpha_2 + \alpha_3)) \\ &+ v_3^{ST}(5\alpha_1^2 + 5\alpha_2^2 + 8\alpha_1\alpha_2) + \frac{1}{2}\gamma_2^{ST}(\alpha_1 + \alpha_2 + \alpha_3)^2 \\ &+ 2\gamma_3^{ST}(\alpha_1 + \alpha_2)(\alpha_1 + \alpha_2 + \alpha_3) + \gamma_4^{ST}(\alpha_1^2 + \alpha_2^2 + \alpha_3^2); \quad (9) \end{aligned}$$

$$\begin{aligned} \rho_0 V_3^2 &= \mu + \lambda^T(\alpha_1 + \alpha_2 + \alpha_3) + \mu(4\alpha_1 + 2\alpha_3) + v_2^{ST}(\alpha_1 + \alpha_2 \\ &+ \alpha_3) + 2v_3^{ST}(\alpha_1 + \alpha_3) + \lambda^T \left( \frac{1}{2}(5\alpha_1^2 + \alpha_2^2 + \alpha_3^2) \right. \\ &+ 2\alpha_1(\alpha_2 + \alpha_3) \left. \right) + \mu(6\alpha_1^2 + \alpha_3(\alpha_3 + 4\alpha_1)) + \frac{1}{2}v_1^T(\alpha_1 + \alpha_2 \\ &+ \alpha_3)^2 + v_2^T(3\alpha_1^2 + \alpha_2^2 + \alpha_3^2 + 2\alpha_1(\alpha_2 + \alpha_3)) + 4v_3^T\alpha_1^2 \\ &+ \frac{1}{2}v_2^{ST}(\alpha_1^2 + \alpha_2^2 + \alpha_3^2 + 4(\alpha_1 + \alpha_3)(\alpha_1 + \alpha_2 + \alpha_3)) \\ &+ v_3^{ST}(5\alpha_1^2 + 5\alpha_3^2 + 8\alpha_1\alpha_3) + \frac{1}{2}\gamma_2^{ST}(\alpha_1 + \alpha_2 + \alpha_3)^2 \\ &+ 2\gamma_3^{ST}(\alpha_1 + \alpha_3)(\alpha_1 + \alpha_2 + \alpha_3) + \gamma_4^{ST}(\alpha_1^2 + \alpha_2^2 + \alpha_3^2). \quad (10) \end{aligned}$$

Нужно отметить, что в реальном эксперименте измеряется обычно не скорость звука, а время распространения  $\tau$  звукового импульса или резонансная частота  $f$  соответствующей моды колебаний, которые связаны со скоростью звука соотношением

$$\begin{aligned} \tau^{-2} &= f^2 = n^2 \frac{V^2}{4L^2} \\ &= n^2 \frac{V^2}{4L_0^2(1 + \alpha_1)^2} \cong n^2 \frac{V^2}{4L_0^2} (1 - 2\alpha_1 + 3\alpha_1^2), \quad (11) \end{aligned}$$

где  $L$  и  $L_0$  — текущий и исходный размер образца в направлении распространения ( $a_1$ ),  $n$  — номер гармоники или число проходов эхо-импульса. Для получения зависимостей от внешней нагрузки необходимо теперь связать с ней величины  $\alpha_i$ .

В случае одноосного нагружения (для определенности — вдоль оси  $a_3$ ) эта связь может быть получена из соотношений

$$\begin{aligned} -\frac{F}{S} &= \sigma_{33} = \frac{(1 + \alpha_3)^2}{(1 + \alpha_1)(1 + \alpha_2)(1 + \alpha_3)} t_{33} \\ &= \frac{(1 + \alpha_3)}{(1 + \alpha_2)(1 + \alpha_1)} \left[ (\lambda^T + 2\mu)\alpha_3 + \lambda^T(\alpha_1 + \alpha_2) \right. \\ &+ \frac{1}{2}(\lambda^T + 2\mu)\alpha_3^2 + \frac{1}{2}\lambda^T(\alpha_1^2 + \alpha_2^2) + \frac{1}{2}v_1^T(\alpha_1 + \alpha_2 + \alpha_3)^2 \\ &+ 4v_3^T\alpha_3^2 + v_3^T(3\alpha_3^2 + 2\alpha_3(\alpha_1 + \alpha_2) + \alpha_1^2 + \alpha_2^2) \left. \right], \quad (12) \end{aligned}$$

$$t_{11} = t_{22} = 0$$

$$\begin{aligned} &= (\lambda^T + 2\mu)\alpha_2 + \lambda^T(\alpha_1 + \alpha_3) + \frac{1}{2}(\lambda^T + 2\mu)\alpha_2^2 \\ &+ \frac{1}{2}\lambda^T(\alpha_1^2 + \alpha_3^2) + v_2^T(3\alpha_2^2 + 2\alpha_2(\alpha_1 + \alpha_3) \\ &+ \alpha_1^2 + \alpha_3^2) + 4v_3^T\alpha_2^2 + \frac{1}{2}v_1^T(\alpha_1 + \alpha_2 + \alpha_3)^2, \quad (13) \end{aligned}$$

$$S = S_0(1 + \alpha_1)(1 + \alpha_2), \quad \alpha_1 = \alpha_2, \quad (14)$$

где  $F$  — внешняя сжимающая сила,  $S$  и  $S_0$  — сечение образца в текущем и исходном состояниях.

В результате получаем (с точностью до квадратичных членов по  $P_0 = F/S_0$ )

$$\alpha_1 = \alpha_2 = b_1 P_0 + b_2 P_0^2, \quad \alpha_3 = c_1 P_0 + c_2 P_0^2, \quad (15)$$

где

$$b_1 = \frac{\lambda^T}{2\mu(3\lambda^T + 2\mu)}, \quad c_1 = \frac{\lambda^T + \mu}{\mu(3\lambda^T + 2\mu)}, \quad (16)$$

$$b_1 = \frac{1}{8\mu^3(3\lambda^T + 2\mu)^2} \left[ \lambda^T \mu (3\lambda^T + 2\mu)(3\lambda^T + 4\mu) - 4v_1^T \mu^3 - 8v_2^T \mu^3 + 4v_3^T \lambda^T \{4(\lambda^T + \mu)^2 - \lambda^T(\lambda^T + 2\mu)\} \right], \quad (17)$$

$$c_2 = \frac{-1}{4\mu^3(3\lambda^T + 2\mu)^3} \left[ 6\mu(\lambda^T + \mu)^2(3\lambda^T + 2\mu) + 2v_1^T \mu^3 + 6v_2^T \mu \{2(\lambda^T + \mu)^2 + \lambda^{T^2}\} + 4v_3^T \{4(\lambda^T + \mu)^3 - \lambda^{T^3}\} \right]. \quad (18)$$

Подставляя выражения (8)–(10) и (15)–(18) в (11), можно получить зависимости относительного изменения квадратов резонансных частот  $\Delta f_i^2/f^2 = (f_i^2 - f_{i0}^2)/f_{i0}^2$  ( $f_{i0}$  — резонансная частота в исходном состоянии) продольной и поперечных (с поляризациями параллельно и перпендикулярно оси нагружения) мод колебаний от  $P_0$  при распространении звука перпендикулярно оси нагружения:

$$\begin{aligned} (\lambda^S + 2\mu) \frac{\Delta f_1^2}{f^2} &= \frac{P_0}{2\mu(3\lambda^T + 2\mu)} \{2\lambda^T(\lambda^S + 2\mu) - 2v_1^{ST} \mu + 4v_2^{ST}(\lambda^T - \mu) + 8v_3^{ST} \lambda^T\} + \frac{P_0^2}{4\mu^2(3\lambda^T + 2\mu)^2} \\ &\times \left[ \lambda^T(3\lambda^T + 2\mu)(\lambda^T + \mu) + \lambda^{T^2}(\lambda^S + 2\mu) + 2v_1^T \mu^2 + 2v_2^T \{3\lambda^{T^2} + 2\lambda^T \mu + 2\mu^2\} + 4v_3^T \lambda^{T^2} + v_1^{ST}(3\lambda^{T^2} + 2\mu^2) + 4v_2^{ST} \{4\lambda^{T^2} + \mu^2\} + 20v_3^{ST} \lambda^{T^2} + 2\gamma_1^{ST} \mu^2 + 2\gamma_2^{ST} (3\lambda^{T^2} + 4\mu^2) + 8\gamma_3^{ST} \lambda^T(\lambda^T - 2\mu) + 8\gamma_4^{ST} \{\lambda^{T^2} + (\lambda^T + \mu)^2\} \right] \\ &+ \frac{P_0^2}{8\mu^3(3\lambda^T + 2\mu)^3} \left[ 2(\lambda^T + \lambda^S + 3\mu + v_1^{ST} + 4v_2^{ST} + 4v_3^{ST}) \times \{\lambda^T \mu(3\lambda^T + 2\mu)(3\lambda^T + 4\mu) - 4v_1^T \mu^3 - 8v_2^T \mu^3 + 4v_3^T \lambda^T(3\lambda^{T^2} + 6\lambda^T \mu + 4\mu^2)\} - 4(\lambda^T + v_1^{ST} + 2v_2^{ST}) \times \{3\mu(\lambda^T + \mu)^2(3\lambda^T + 2\mu) + v_1^T \mu^3 + 3v_2^T \mu(\lambda^{T^2} + 2(\lambda^T + \mu)^2) + 2v_3^T (4(\lambda^T + \mu)^3 - \lambda^{T^3})\} \right]; \quad (19) \end{aligned}$$

$$\begin{aligned} \mu \frac{\Delta f_2^2}{f^2} &= \frac{P_0}{2\mu(3\lambda^T + 2\mu)} \{2\mu \lambda^T - 2v_2^{ST} \mu + 4v_3^{ST} \lambda^T\} \\ &+ \frac{P_0^2}{4\mu^2(3\lambda^T + 2\mu)^2} \left[ \lambda^T(3\lambda^{T^2} + 6\lambda^T \mu + 2\mu^2) + 2v_1^T \mu^2 + 2v_2^T(3\lambda^{T^2} + 2\lambda^T \mu + 2\mu^2) + 4v_3^T \lambda^{T^2} + v_2^{ST}(3\lambda^{T^2} + 2\mu^2) + 10v_3^{ST} \lambda^{T^2} + 2\gamma_2^{ST} \mu^2 - 8\gamma_3^{ST} \lambda^T \mu + 2\gamma_4^{ST} \{\lambda^{T^2} + 2(\lambda^T + \mu)^2\} \right] \\ &+ \frac{P_0^2}{8\mu^3(3\lambda^T + 2\mu)^3} \left[ 2(\lambda^T + 2\mu + v_2^{ST} + 2v_3^{ST}) \times \{\lambda^T \mu(3\lambda^T + 2\mu)(3\lambda^T + 4\mu) - 4v_1^T \mu^3 - 8v_2^T \mu^3 + 4v_3^T \lambda^T(4(\lambda^T + \mu)^2 - \lambda^T(\lambda^T + 2\mu))\} - 4(\lambda^T + v_2^{ST}) \{3\mu(\lambda^T + \mu)^2(3\lambda^T + 2\mu) + v_1^T \mu^3 + 3v_2^T \mu(\lambda^{T^2} + 2(\lambda^T + \mu)^2) + 2v_3^T (4(\lambda^T + \mu)^3 - \lambda^{T^3})\} \right]; \quad (20) \end{aligned}$$

$$\begin{aligned} \mu \frac{\Delta f_3^2}{f^2} &= \frac{P_0}{2\mu(3\lambda^T + 2\mu)} \{-4\mu(\lambda^T + \mu) - 2v_2^{ST} \mu - 2v_3^{ST}(\lambda^T + 2\mu)\} + \frac{P_0^2}{4\mu^2(3\lambda^T + 2\mu)^2} \left[ (\lambda^T + \mu)(3\lambda^{T^2} + 6\lambda^T \mu + 4\mu^2) + 2v_1^T \mu^2 + 2v_2^T \{3\lambda^{T^2} + 2\mu(\lambda^T + \mu)\} + 4v_3^T \lambda^{T^2} + v_2^{ST} \{3\lambda^{T^2} + 12\lambda^T \mu + 10\mu^2\} + v_3^{ST} \{\lambda^{T^2} + 4(\lambda^T + \mu)(3\lambda^T + 5\mu)\} + 2\gamma_2^{ST} \mu^2 + 4\gamma_3^{ST} \mu(\lambda^T + 2\mu) + 2\gamma_4^{ST} \{\lambda^{T^2} + 2(\lambda^T + \mu)^2\} \right] \\ &+ \frac{P_0^2}{8\mu^3(3\lambda^T + 2\mu)^3} \left[ (2\lambda^T + 2\mu + 2v_2^{ST} + 2v_3^{ST}) \times \{\lambda^T \mu(3\lambda^T + 2\mu)(3\lambda^T + 4\mu) - 4v_1^T \mu^3 - 8v_2^T \mu^3 + 4v_3^T \lambda^T(4(\lambda^T + \mu)^2 - \lambda^T(\lambda^T + 2\mu))\} - 4(\lambda^T + 2\mu + v_2^{ST} + 2v_3^{ST}) \{3\mu(\lambda^T + \mu)^2(3\lambda^T + 2\mu) + v_1^T \mu^3 + 3v_2^T \mu(\lambda^{T^2} + 2(\lambda^T + \mu)^2) + 2v_3^T (4(\lambda^T + \mu)^3 - \lambda^{T^3})\} \right]. \quad (21) \end{aligned}$$

Как видно из полученных формул, из измерений двух сдвиговых и продольной скоростей звука при одноосном нагружении (по зависимостям  $\frac{\partial^2(\Delta f_i^2/f^2)}{\partial P_0^2}$ ) можно определить величину модуля  $\gamma_3$ , комбинацию модулей  $\gamma_2$  и  $\gamma_4$  и комбинацию модуля  $\gamma_1$  с одним из модулей  $\gamma_2$  или  $\gamma_4$ . Предварительно из данных по  $\frac{\partial(\Delta f_i^2/f^2)}{\partial P_0}$  необходимо рассчитать модули  $v_\alpha$ .

**Таблица 1.** Абсолютные и относительные значения упругих констант третьего порядка  $\nu_\alpha^{ST}$  в объемном аморфном сплаве Zr–Cu–Ni–Al–Ti и величина возможной поправки, связанной с различием констант  $\lambda^S$  и  $\lambda^T$

Упругие константы	Абсолютные значения, GPa		Относительные значения
	$\lambda^T = \lambda^S$	$\lambda^T = 0.95\lambda^S$	
$\nu_1^{ST}$	$-109 \pm 12$	$-65$	$-0.7(\lambda^S + 2\mu)$
$\nu_2^{ST}$	$-140.2 \pm 2.7$	$-133.5$	$-4.45\mu$
$\nu_3^{ST}$	$-35.0 \pm 0.2$	$-35.0$	$-1.1\mu$

#### 4. Результаты и обсуждение

На рисунке представлены экспериментальные данные относительного изменения квадратов резонансных частот продольной и поперечных мод колебаний в зависимости от внешней нагрузки, полученные для одного из образцов исследуемого металлического стекла в ходе нескольких циклов нагружения и разгрузки. Сколь угодно заметный гистерезис в изменении резонансных частот с нагрузкой обнаружен не был. Аппроксимация полученных экспериментальных зависимостей полиномом второй степени ( $f_i^2/f_{i0}^2 = 1 + b_i P_0 + c_i P_0^2$ ) дает следующие значения коэффициентов:

$$b_1 = -(7.25 \pm 0.12) \cdot 10^{-3} \text{ GPa}^{-1},$$

$$b_2 = (2.80 \pm 0.08) \cdot 10^{-3} \text{ GPa}^{-1},$$

$$b_3 = (6.25 \pm 0.08) \cdot 10^{-3} \text{ GPa}^{-1},$$

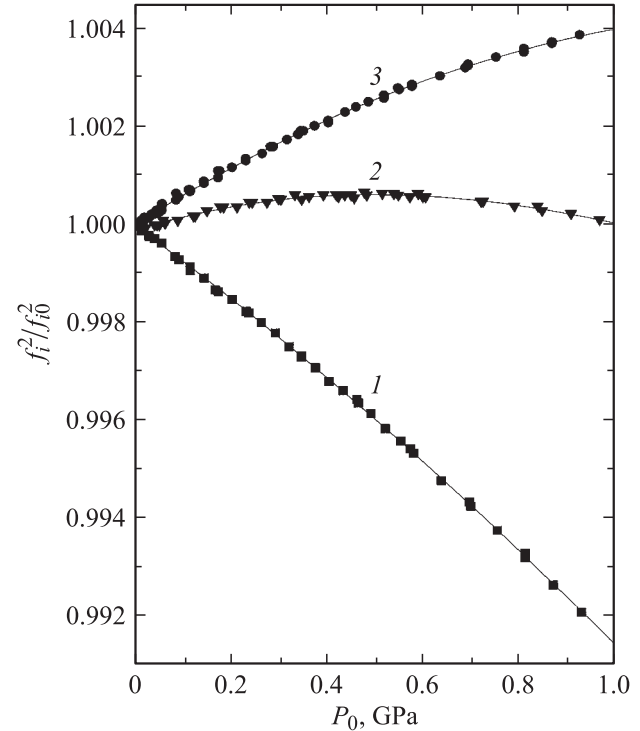
$$c_1 = -(1.35 \pm 0.09) \cdot 10^{-3} \text{ GPa}^{-2},$$

$$c_2 = -(2.70 \pm 0.08) \cdot 10^{-3} \text{ GPa}^{-2},$$

$$c_3 = -(2.20 \pm 0.06) \cdot 10^{-3} \text{ GPa}^{-2}.$$

По полученным значениям величин  $b_i$  и линейной части (19)–(21) были рассчитаны величины модулей третьего порядка  $\nu_\alpha^{ST}$ . Эти данные приведены в табл. 1. Поскольку точное значение изотермического модуля  $\lambda_T$  для исследуемого сплава нам не было известно, расчет проводился в приближении  $\gamma^T = \gamma^S$ . Возможная связанная с этим ошибка продемонстрирована в табл. 1

(в предположении, что  $\lambda^T$  меньше  $\lambda^S$  на 5%). Как видно, наиболее существенно это сказывается на величине модуля  $\nu_1^{ST}$ , в то время как  $\nu_3^{ST}$  от величины  $\lambda^T$  не зависит. Нужно отметить, что полученные значения модулей третьего порядка в пределах ошибки измерений совпали с результатами предыдущих работ [2,3], где измерения проводились на других образцах.



Относительное изменение квадрата резонансной частоты образца металлического стекла  $Zr_{52.5}Ti_5Cu_{17.9}Ni_{14.6}Al_{10}$  в зависимости от приложенного давления при одноосном упругом нагружении (направление распространения ультразвука перпендикулярно направлению внешней силы). 1 — продольные колебания, 2 и 3 — сдвиговые с вектором поляризации, перпендикулярным и параллельным направлению внешней силы соответственно.

Используя полученные значения  $\nu_\alpha^{ST}$ , величины  $c_i$  и билинейную часть (19)–(21), были получены значения модуля четвертого порядка  $\gamma_3$  (далее мы опустим индексы  $ST$  в их обозначениях) и комбинации  $\gamma_4$  с  $\gamma_2$  и  $\gamma_2$

**Таблица 2.** Значения упругих констант четвертого порядка  $\gamma_\alpha^{ST}$  объемного металлического стекла Zr–Cu–Ni–Al–Ti, рассчитанные с использованием вариации величин  $\lambda^T$  и  $\nu_\alpha^T$

Упругие константы	$\gamma_\alpha^{ST}$ , GPa				
	$\lambda^T = \lambda^S$ $\nu_\alpha^T = \nu_\alpha^{ST}$	$\lambda^T = 0.95\lambda^S$	$\nu_1^T = 0.95\nu_1^{ST}$	$\nu_2^T = 0.95\nu_2^{ST}$	$\nu_3^T = 0.95\nu_3^{ST}$
$\gamma_2 + 0.033\gamma_1$	$-338 \pm 115$	$-373$	$-338$	$-342$	$-329$
$\gamma_3$	$+398 \pm 34$	$+390$	$+398$	$+397$	$+397$
$\gamma_4 + 0.026\gamma_2$	$-160 \pm 12$	$-181$	$-160$	$-169$	$-162$

с  $\gamma_1$  (табл. 2). Расчет проводился в приближении  $\lambda^T = \lambda^S$ . Возможная связанная с этим ошибка продемонстрирована в табл. 2. Кроме того, при расчете использовалось приближение  $v_\alpha^T = v_\alpha^{ST}$ . Поскольку их значения могут отличаться, в таблице продемонстрировано и возможное влияние этого на полученные оценки.

Как видно из табл. 2, абсолютные значения полученных констант имеют один и тот же порядок величины (хотя модуль  $\gamma_3$  имеет другой знак, чем остальные). Полагая, что и  $\gamma_1$  имеет тот же порядок, в пределах полученной точности можно пренебречь вторыми членами в линейных комбинациях модулей в табл. 2; таким образом получаем оценки для трех модулей четвертого порядка ( $\gamma_2, \gamma_3, \gamma_4$ ). Из данных, приведенных в табл. 2, также видно, что возможное влияние принятого при расчете приближения ( $\lambda^T = \lambda^S, v_\alpha^T = v_\alpha^{ST}$ ) не является критическим для полученных оценок. Для более корректной оценки влияния возможной разницы между  $v_\alpha^T$  и  $v_\alpha^{ST}$  на результаты расчетов необходим анализ, термодинамических выражений, связывающих  $v_\alpha^S$  и  $v_\alpha^{ST}$  [11,13].

Обратим теперь внимание на величину модуля  $\gamma_4$ , которая оказывается равной примерно  $-4.5\mu$ , и сравним ее с качественной теоретической его оценкой, полученной в работе Гранато [4]. Согласно [4], этот модуль должен быть отрицательным, а его значение  $\gamma_4 \approx -\frac{4}{3}\pi^2\mu$  или  $\gamma_4 \approx -13\mu$ . Полученное экспериментальное значение имеет тот же знак и примерно в 2.5 раза меньше по абсолютной величине. Поскольку полученная в [4] оценка является качественной, можно полагать, что экспериментальная оценка согласуется с ней вполне удовлетворительно. Нужно отметить, что других теоретических оценок ангармонических модулей упругости нам неизвестно.

## 5. Заключение

Таким образом, в работе впервые экспериментально оценены с удовлетворительной точностью три из четырех упругих модулей четвертого порядка для объемного аморфного сплава  $Zr_{52.3}Ti_5Cu_{17.9}Ni_{14.6}Al_{10}$ . Полученная при этом величина модуля  $\gamma_4$  качественно согласуется с его теоретической оценкой, полученной в рамках междоузельной теории конденсированного состояния.

## Список литературы

- [1] A. Inoue. Amorphous alloy. Practical characteristics and applications. Material Science Foundation, Transtech, Zürich (1999). V. 6.
- [2] Н.П. Кобелев, Е.Л. Колыванов, В.А. Хоник. ФТТ **47**, 395 (2005).
- [3] N.P. Kobelev, E.L. Kolyvanov, V.A. Khonik. Solid State Phenomena **115**, 127 (2006).
- [4] A.V. Granato. Phys. Rev. Lett. **68**, 974 (1992).
- [5] A.V. Granato. J. Phys. Chem. Sol. **55**, 931 (1994).
- [6] A.V. Granato. J. Non-Cryst. Sol. **307–310**, 376 (2002).

- [7] A.E. Berlev, O.P. Bobrov, V.A. Khonik, K. Csach, A. Juríková, J. Miškuf, H. Neuhäuser, Yu. Yazvitsky. Phys. Rev. B **68**, 132303-1 (2003).
- [8] Н.П. Кобелев, Я.М. Соифер. ФТТ **21**, 1362 (1979).
- [9] Н.П. Кобелев, Р.К. Николаев, Я.М. Соифер, С.С. Хасанов. ФТТ **40**, 173 (1998).
- [10] D.S. Hughes, J.L. Kelly. Phys. Rev. **92**, 1145 (1953).
- [11] Р. Терстон. Распространение волн в жидкостях и твердых телах. В кн.: Физическая акустика. Мир, М. (1966). Т. 1, Ч. А. С. 13.
- [12] R.N. Thurston, K. Brugger. Phys. Rev. **133**, A 1604 (1964).
- [13] K. Brugger. Phys. Rev. **133**, A 1611 (1964).